COMUNE DI PORTOFERRAIO

PROVINCIA DI LIVORNO

PEEP "AMBITO CASERME ALBERETO"
E IMPIANTI SPORTIVI "AMBITO BRICCHETTERIA"

STUDIO IDRAULICO

ALL
1

Allegato idrologico

Data emissione:	CODICE ELABORATO	Anno	Commessa	Progetto	Tipologia	Elaborato n°
Febbraio 2021		2021	005	I	ALL	1

LIVELLO	Numero	Data	Stesura	Controllo	Approvazione
Prima stesura	01	12/02/2021	FM	CR	PB
Revisione	02	08/03/2021	FM	CR	PB

Progettazione

INGEO

Studio INGEO
Ingegneri e Geologi Associati
Via di Tiglio 433 - 55100 Lucca
Telefono 0583 - 48682
Telefax 0583 - 464539
E-mail studio@ingeo.it

Il progettista
ing. Paolo Barsotti

Firmato digitalmente da
PAOLO BARSOTTI
SerialNumber = TINIT-BRSPLA67E14E715U
C = IT
Data e ora della firma: 11/03/2021 07:28:59

Il gruppo di lavoro
ing. Federico Morgantini
ing. Claudio Rossi

NOTE GENERALI DELLA MODELLAZIONE

GENERALITÀ

Il presente allegato contiene le tabelle con i parametri idrologici dei bacini analizzati ed i risultati del modello idrologico costruito tramite il programma di calcolo HEC HMS 4.2.1, prodotto dall' "US Army Corp of Engineers".

Le mappe dalle quali sono stati desunti i suddetti parametri, mediante elaborazioni GIS, sono riportate nel presente allegato e sono:

- Carta dei bacini
- Carta dell'uso del suolo
- Carta della permeabilità
- Carta del CN

OUTPUT DELLA MODELLAZIONE IDROLOGICA

Le tabelle riportate nel presente allegato contengono gli output relativi a ciascuno degli eventi metereologici simulati. Per quanto riguarda il significato dei termini anglosassoni si riporta la sottostante legenda:

- **Hydrologic Element**: Elemento idrologico
- **Discharge Peak**: Portata di picco
- **Time of peak**: Istante in cui si verifica il passaggio del picco di piena
- **Volume (mm)**: Volume defluito attraverso l'elemento considerato (mm per unità di superficie)
- **Drainage area (kmq)**: Estensione dell'area sottesa dall'elemento idrologico

Carta CN - Scala 1:7500

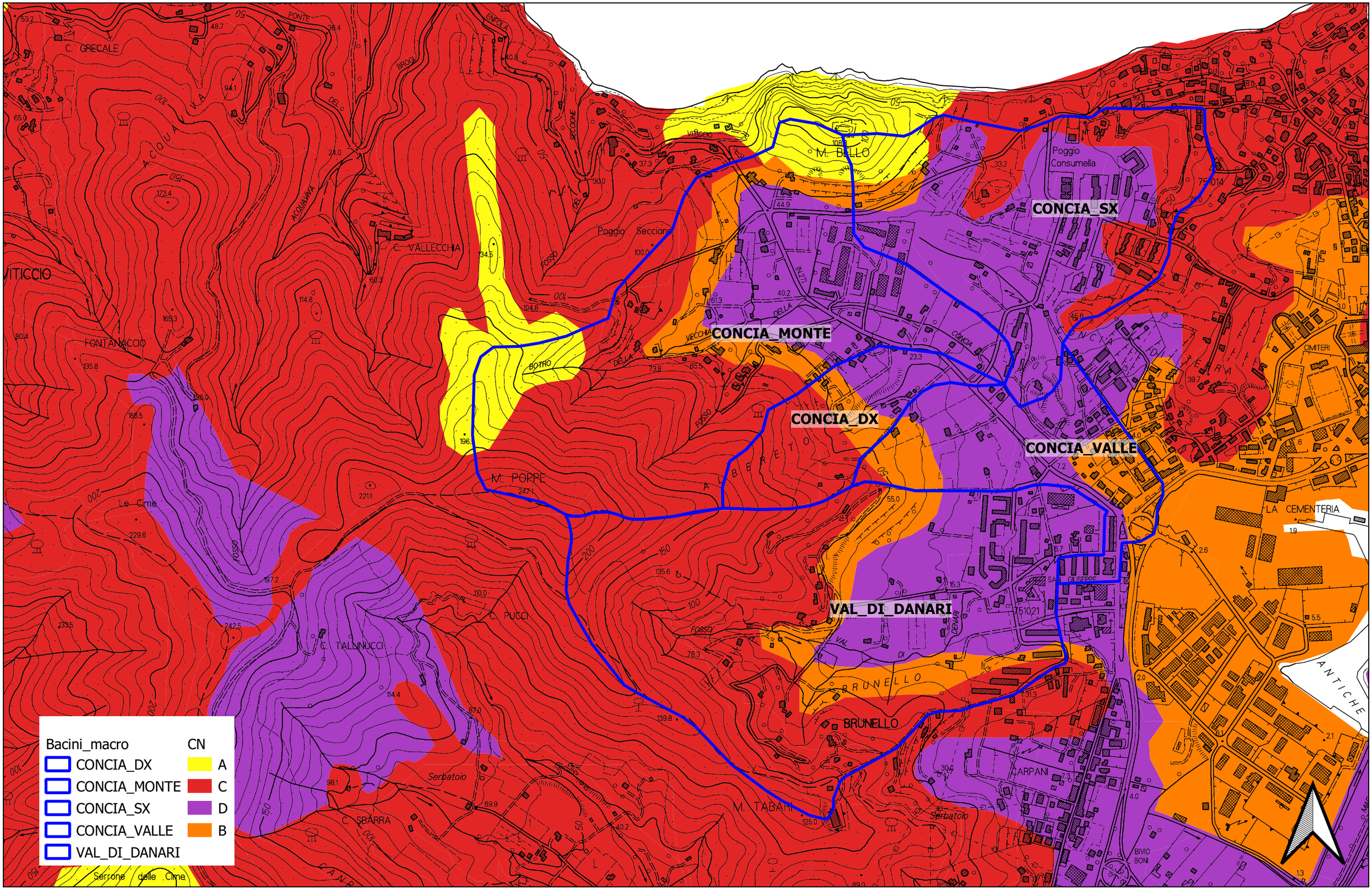

Carta Uso del Suolo- Scala 1:7.500

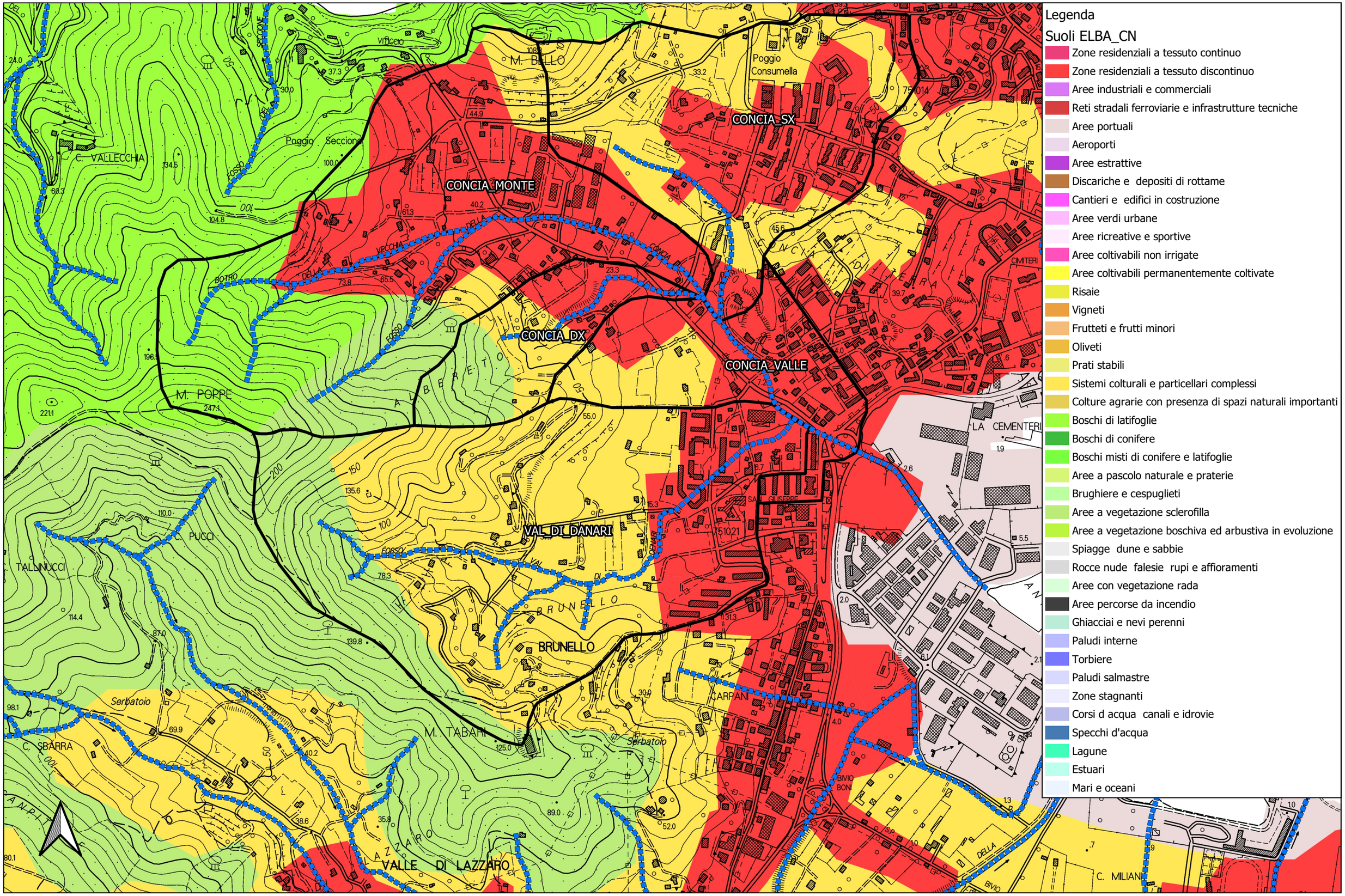

Carta CN - Scala 1:7500

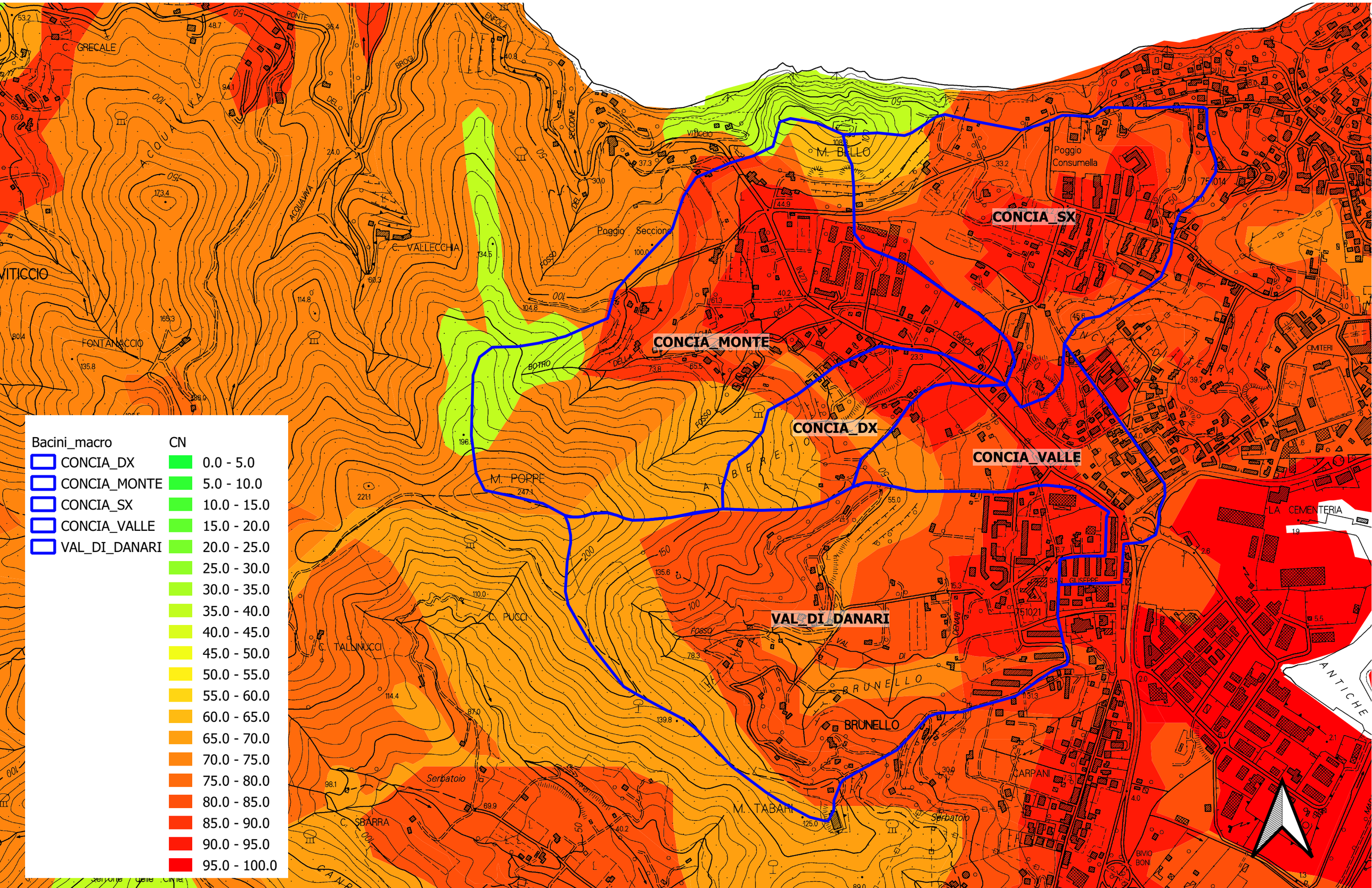

SCHEMA DEL MODELLO IDROLOGICO

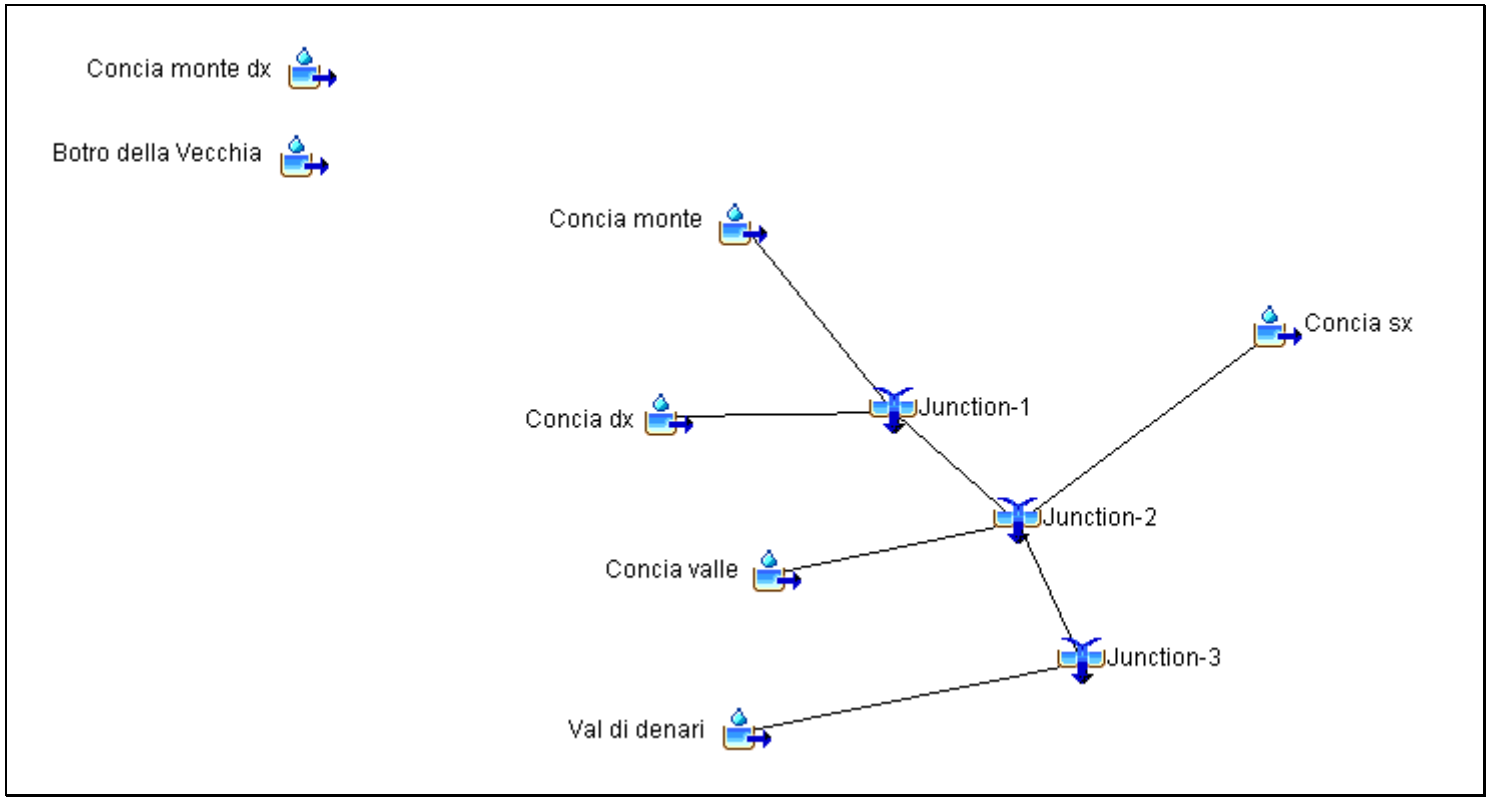

BOTRO_VECCHIA

Dati morfologici

A	0,197	kmq	Estensione
L	870,96	m	Lunghezza percorso idraulico massimo
L_1	696,77	m	Lunghezza percorso idraulico significativo
Q_A	168,18	m s.l.m.	Quota punto più alto significativo
Q_{A1}	244,61	m s.l.m.	Quota punto più alto
Q_B	45,1	m s.l.m.	Quota punto più basso
H_m	85,32	m	Altezza media sulla sezione di chiusura
i	17,66%		Pendenza media dell'asta principale
i_v	35,74%		Pendenza media dei versanti
CN_{II}	71,7		Curve number (AMC II)
CN_{III}	85,3		Curve number (AMC III)
AMC	III		AMC

Tempi di concentrazione, corrivazione e ritardo

SCS

T_{con} (SCS)	14,7	min	Tempo di concentrazione (SCS)
T_{lag} (SCS)	8,8	min	Tempo di ritardo (SCS)

FAA

C	0,28		Coefficiente di deflusso
T_{con} (FAA)	15,4	min	Tempo di concentrazione (FAA)
T_{lag} (FAA)	9,3	min	Tempo di ritardo (FAA)

Giandotti

T_{corr}	25,0	min	Tempo di corrivazione secondo Giandotti

Tournon

T_{corr}	14,5	min	Tempo di corrivazione secondo Tournon

Kirpich

T_{corr}	6,8	min	Tempo di corrivazione secondo Kirpich

Pasini

T_{corr}	8,6	min	Tempo di corrivazione secondo Pasini

Media Tournon - SCS

T_{con}	14,6	min	Tempo di concentrazione medio (SCS e Tournon)
T_{lag}	8,8	min	Tempo di ritardo medio (SCS e Tournon)

Calcolo delle perdite iniziali con il metodo dell'SCS

I_L(%)	20,0%		Perdite iniziali in percentuale
I_L	8,7	mm	Perdite iniziali

Valutazione del coefficiente CN medio

Area	196996	m^2		
CN medio	71,69			
C defl medio	0,28			
Codice CLC	**Descrizione**	**Classe permeabilità**	**CN**	**Area**
112	Territori modellati artificialmente - Zone urbanizzate - Tessuto urbano discontinuo	C	90	39111
112	Territori modellati artificialmente - Zone urbanizzate - Tessuto urbano discontinuo	D	92	11051
311	Territori boscati e ambienti semi naturali - Zone boscate - Boschi di latifoglie	A	36	36589
112	Territori modellati artificialmente - Zone urbanizzate - Tessuto urbano discontinuo	B	85	18403
311	Territori boscati e ambienti semi naturali - Zone boscate - Boschi di latifoglie	C	73	91843

CONCIA_DETT_MONTE

Dati morfologici

A	0.103	kmq	Estensione
L	695.35	m	Lunghezza percorso idraulico massimo
L_1	556.28	m	Lunghezza percorso idraulico significativo
Q_A	192.87	m s.l.m.	Quota punto più alto significativo
Q_{A1}	237.35	m s.l.m.	Quota punto più alto
Q_B	45.85	m s.l.m.	Quota punto più basso
H_m	77.26	m	Altezza media sulla sezione di chiusura
i	26.43%		Pendenza media dell'asta principale
i_v	34.46%		Pendenza media dei versanti
CN_{II}	73.4		Curve number (AMC II)
CN_{III}	86.4		Curve number (AMC III)
AMC	III		AMC

Tempi di concentrazione, corrivazione e ritardo

SCS

T_{con} (SCS)	9.7	min	Tempo di concentrazione (SCS)
T_{lag} (SCS)	5.8	min	Tempo di ritardo (SCS)

FAA

C	0.32		Coefficiente di deflusso
T_{con} (FAA)	10.4	min	Tempo di concentrazione (FAA)
T_{lag} (FAA)	6.2	min	Tempo di ritardo (FAA)

Giandotti

T_{corr}	19.8	min	Tempo di corrivazione secondo Giandotti

Tournon

T_{corr}	9.6	min	Tempo di corrivazione secondo Tournon

Kirpich

T_{corr}	5.4	min	Tempo di corrivazione secondo Kirpich

Pasini

T_{corr}	5.2	min	Tempo di corrivazione secondo Pasini

Media Tournon - SCS

T_{con}	9.6	min	Tempo di concentrazione medio (SCS e Tournon)
T_{lag}	5.8	min	Tempo di ritardo medio (SCS e Tournon)

Calcolo delle perdite iniziali con il metodo dell'SCS

I_L(%)	20.0%		Perdite iniziali in percentuale
I_L	8.0	mm	Perdite iniziali

Valutazione del coefficiente CN medio

Area	102878	m^2		
CN medio	73.43			
C defl medio	0.32			
Codice CLC	**Descrizione**	**Classe permeabilità**	**CN**	**Area**
242	Territori agricoli - Zone agricole eterogenee - Sistemi colturali e particellari permane	B	73	312
112	Territori modellati artificialmente - Zone urbanizzate - Tessuto urbano discontinuo	C	90	6146
323	Territori boscati e ambienti semi naturali - Zone caratterizzate da vegetazione arbus	C	70	75079
242	Territori agricoli - Zone agricole eterogenee - Sistemi colturali e particellari permane	C	81	4450
311	Territori boscati e ambienti semi naturali - Zone boscate - Boschi di latifoglie	C	73	7712
112	Territori modellati artificialmente - Zone urbanizzate - Tessuto urbano discontinuo	D	92	2732
112	Territori modellati artificialmente - Zone urbanizzate - Tessuto urbano discontinuo	B	85	6446

CONCIA DX

Dati morfologici			
A	0.107	kmq	Estensione
L	757.92	m	Lunghezza percorso idraulico massimo
L_1	606.34	m	Lunghezza percorso idraulico significativo
Q_A	88.15	m s.l.m.	Quota punto più alto significativo
Q_{A1}	143.89	m s.l.m.	Quota punto più alto
Q_B	12.82	m s.l.m.	Quota punto più basso
H_m	47.52	m	Altezza media sulla sezione di chiusura
i	12.42%		Pendenza media dell'asta principale
i_v	23.77%		Pendenza media dei versanti
CN_{II}	79.5		Curve number (AMC II)
CN_{III}	89.9		Curve number (AMC III)
AMC	III		AMC

Tempi di concentrazione, corrivazione e ritardo			
SCS			
T_{con} (SCS)	13.2	min	Tempo di concentrazione (SCS)
T_{lag} (SCS)	7.9	min	Tempo di ritardo (SCS)
FAA			
C	0.36		Coefficiente di deflusso
T_{con} (FAA)	12.5	min	Tempo di concentrazione (FAA)
T_{lag} (FAA)	7.5	min	Tempo di ritardo (FAA)
Giandotti			
T_{corr}	26.6	min	Tempo di corrivazione secondo Giandotti
Tournon			
T_{corr}	12.1	min	Tempo di corrivazione secondo Tournon
Kirpich			
T_{corr}	6.9	min	Tempo di corrivazione secondo Kirpich
Pasini			
T_{corr}	8.0	min	Tempo di corrivazione secondo Pasini
Media Tournon - SCS			
T_{con}	12.6	min	Tempo di concentrazione medio (SCS e Tournon)
T_{lag}	7.6	min	Tempo di ritardo medio (SCS e Tournon)

Calcolo delle perdite iniziali con il metodo dell'SCS			
I_L(%)	20.0%		Perdite iniziali in percentuale
I_L	5.7	mm	Perdite iniziali

Codice CLC	Descrizione	Classe permeabilità	CN	Area
242	Territori agricoli - Zone agricole eterogenee - Sistemi colturali e particellari permane	C	81	21732
323	Territori boscati e ambienti semi naturali - Zone caratterizzate da vegetazione arbus	C	70	37500
112	Territori modellati artificialmente - Zone urbanizzate - Tessuto urbano discontinuo	D	92	31481
242	Territori agricoli - Zone agricole eterogenee - Sistemi colturali e particellari permane	B	73	12995
112	Territori modellati artificialmente - Zone urbanizzate - Tessuto urbano discontinuo	B	85	3324

CONCIA MONTE

Dati morfologici

A	0.536	kmq	Estensione
L	1459.38	m	Lunghezza percorso idraulico massimo
L_1	1167.50	m	Lunghezza percorso idraulico significativo
Q_A	134.99	m s.l.m.	Quota punto più alto significativo
Q_{A1}	244.61	m s.l.m.	Quota punto più alto
Q_B	12.23	m s.l.m.	Quota punto più basso
H_m	79.98	m	Altezza media sulla sezione di chiusura
i	10.51%		Pendenza media dell'asta principale
i_v	26.35%		Pendenza media dei versanti
CN_{II}	78.8		Curve number (AMC II)
CN_{III}	89.5		Curve number (AMC III)
AMC	III		AMC

Tempi di concentrazione, corrivazione e ritardo

SCS

T_{con} (SCS)	24.6	min	Tempo di concentrazione (SCS)
T_{lag} (SCS)	14.8	min	Tempo di ritardo (SCS)

FAA

C	0.37		Coefficiente di deflusso
T_{con} (FAA)	20.7	min	Tempo di concentrazione (FAA)
T_{lag} (FAA)	12.4	min	Tempo di ritardo (FAA)

Giandotti

T_{corr}	42.9	min	Tempo di corrivazione secondo Giandotti

Tournon

T_{corr}	28.4	min	Tempo di corrivazione secondo Tournon

Kirpich

T_{corr}	11.7	min	Tempo di corrivazione secondo Kirpich

Pasini

T_{corr}	18.4	min	Tempo di corrivazione secondo Pasini

Media Tournon - SCS

T_{con}	26.5	min	Tempo di concentrazione medio (SCS e Tournon)
T_{lag}	15.9	min	Tempo di ritardo medio (SCS e Tournon)

Calcolo delle perdite iniziali con il metodo dell'SCS

I_L(%)	20.0%		Perdite iniziali in percentuale
I_L	5.9	mm	Perdite iniziali

Valutazione del coefficiente CN medio

Area	535519	m^2		
CN medio	78.82			
C defl medio	0.37			

Codice CLC	Descrizione	Classe permeabilità	CN	Area
242	Territori agricoli - Zone agricole eterogenee - Sistemi colturali e particellari permane	B	73	3189
311	Territori boscati e ambienti semi naturali - Zone boscate - Boschi di latifoglie	C	73	107185
311	Territori boscati e ambienti semi naturali - Zone boscate - Boschi di latifoglie	A	36	37294
112	Territori modellati artificialmente - Zone urbanizzate - Tessuto urbano discontinuo	A	77	3055
112	Territori modellati artificialmente - Zone urbanizzate - Tessuto urbano discontinuo	B	85	54546
242	Territori agricoli - Zone agricole eterogenee - Sistemi colturali e particellari permane	B	73	5921
242	Territori agricoli - Zone agricole eterogenee - Sistemi colturali e particellari permane	D	84	3230
242	Territori agricoli - Zone agricole eterogenee - Sistemi colturali e particellari permane	A	61	14249
323	Territori boscati e ambienti semi naturali - Zone caratterizzate da vegetazione arbus	C	70	75264
112	Territori modellati artificialmente - Zone urbanizzate - Tessuto urbano discontinuo	C	90	59831
112	Territori modellati artificialmente - Zone urbanizzate - Tessuto urbano discontinuo	D	92	163442
242	Territori agricoli - Zone agricole eterogenee - Sistemi colturali e particellari permane	C	81	8315

CONCIA SX

Dati morfologici

A	0.646	kmq	Estensione
L	834.55	m	Lunghezza percorso idraulico massimo
L_1	667.64	m	Lunghezza percorso idraulico significativo
Q_A	34.26	m s.l.m.	Quota punto più alto significativo
Q_{A1}	111.27	m s.l.m.	Quota punto più alto
Q_B	10.26	m s.l.m.	Quota punto più basso
H_m	23.55	m	Altezza media sulla sezione di chiusura
i	3.59%		Pendenza media dell'asta principale
i_v	13.57%		Pendenza media dei versanti
CN_{II}	85.6		Curve number (AMC II)
CN_{III}	93.2		Curve number (AMC III)
AMC	III		AMC

Tempi di concentrazione, corrivazione e ritardo

SCS			
T_{con} (SCS)	23.0	min	Tempo di concentrazione (SCS)
T_{lag} (SCS)	13.8	min	Tempo di ritardo (SCS)
FAA			
C	0.42		Coefficiente di deflusso
T_{con} (FAA)	40.6	min	Tempo di concentrazione (FAA)
T_{lag} (FAA)	24.3	min	Tempo di ritardo (FAA)
Giandotti			
T_{corr}	69.0	min	Tempo di corrivazione secondo Giandotti
Tournon			
T_{corr}	61.4	min	Tempo di corrivazione secondo Tournon
Kirpich			
T_{corr}	8.5	min	Tempo di corrivazione secondo Kirpich
Pasini			
T_{corr}	27.8	min	Tempo di corrivazione secondo Pasini
Media Tournon - SCS			
T_{con}	42.2	min	Tempo di concentrazione medio (SCS e Tournon)
T_{lag}	25.3	min	Tempo di ritardo medio (SCS e Tournon)

Calcolo delle perdite iniziali con il metodo dell'SCS

I_L(%)	20.0%		Perdite iniziali in percentuale
I_L	3.7	mm	Perdite iniziali

Valutazione del coefficiente CN medio

Area	645660	m^2		
CN medio	85.56			
C defl medio	0.42			

Codice CLC	Descrizione	Classe permeabilità	CN	Area
311	Territori boscati e ambienti semi naturali - Zone boscate - Boschi di latifoglie	A	36	105
242	Territori agricoli - Zone agricole eterogenee - Sistemi colturali e particellari permane	C	81	56774
112	Territori modellati artificialmente - Zone urbanizzate - Tessuto urbano discontinuo	D	92	110947
311	Territori boscati e ambienti semi naturali - Zone boscate - Boschi di latifoglie	C	73	407
242	Territori agricoli - Zone agricole eterogenee - Sistemi colturali e particellari permane	B	73	10961
242	Territori agricoli - Zone agricole eterogenee - Sistemi colturali e particellari permane	D	84	97565
242	Territori agricoli - Zone agricole eterogenee - Sistemi colturali e particellari permane	A	61	18533
112	Territori modellati artificialmente - Zone urbanizzate - Tessuto urbano discontinuo	C	90	43517
323	Territori boscati e ambienti semi naturali - Zone caratterizzate da vegetazione arbus	C	70	75264
112	Territori modellati artificialmente - Zone urbanizzate - Tessuto urbano discontinuo	C	90	59831
112	Territori modellati artificialmente - Zone urbanizzate - Tessuto urbano discontinuo	D	92	163442
242	Territori agricoli - Zone agricole eterogenee - Sistemi colturali e particellari permane	C	81	8315

CONCIA_VALLE

Dati morfologici

A	0.161	kmq	Estensione
L	827.31	m	Lunghezza percorso idraulico massimo
L_1	661.85	m	Lunghezza percorso idraulico significativo
Q_A	33.65	m s.l.m.	Quota punto più alto significativo
Q_{A1}	67.76	m s.l.m.	Quota punto più alto
Q_B	3.28	m s.l.m.	Quota punto più basso
H_m	12.93	m	Altezza media sulla sezione di chiusura
i	4.59%		Pendenza media dell'asta principale
i_v	9.42%		Pendenza media dei versanti
CN_{II}	87.2		Curve number (AMC II)
CN_{III}	94.0		Curve number (AMC III)
AMC	III		AMC

Tempi di concentrazione, corrivazione e ritardo

SCS

T_{con} (SCS)	19.4	min	Tempo di concentrazione (SCS)
T_{lag} (SCS)	11.6	min	Tempo di ritardo (SCS)

FAA

C	0.45		Coefficiente di deflusso
T_{con} (FAA)	17.8	min	Tempo di concentrazione (FAA)
T_{lag} (FAA)	10.7	min	Tempo di ritardo (FAA)

Giandotti

T_{corr}	59.4	min	Tempo di corrivazione secondo Giandotti

Tournon

T_{corr}	25.0	min	Tempo di corrivazione secondo Tournon

Kirpich

T_{corr}	10.0	min	Tempo di corrivazione secondo Kirpich

Pasini

T_{corr}	15.5	min	Tempo di corrivazione secondo Pasini

Media Tournon - SCS

T_{con}	22.2	min	Tempo di concentrazione medio (SCS e Tournon)
T_{lag}	13.3	min	Tempo di ritardo medio (SCS e Tournon)

Calcolo delle perdite iniziali con il metodo dell'SCS

I_L(%)	20.0%		Perdite iniziali in percentuale
I_L	3.2	mm	Perdite iniziali

Valutazione del coefficiente CN medio

Area	161288	m^2		
CN medio	87.23			
C defl medio	0.45			

Codice CLC	Descrizione	Classe permeabilità	CN	Area
242	Territori agricoli - Zone agricole eterogenee - Sistemi colturali e particellari permane	B	73	16190
112	Territori modellati artificialmente - Zone urbanizzate - Tessuto urbano discontinuo	D	92	84232
242	Territori agricoli - Zone agricole eterogenee - Sistemi colturali e particellari permane	C	81	2628
242	Territori agricoli - Zone agricole eterogenee - Sistemi colturali e particellari permane	D	84	24179
242	Territori agricoli - Zone agricole eterogenee - Sistemi colturali e particellari permane	D	84	177
112	Territori modellati artificialmente - Zone urbanizzate - Tessuto urbano discontinuo	B	85	30260
112	Territori modellati artificialmente - Zone urbanizzate - Tessuto urbano discontinuo	B	85	3622

VAL di DANARI

Dati morfologici

A	0.608	kmq	Estensione
L	1504.77	m	Lunghezza percorso idraulico massimo
L_1	1203.82	m	Lunghezza percorso idraulico significativo
Q_A	103.22	m s.l.m.	Quota punto più alto significativo
Q_{A1}	233.59	m s.l.m.	Quota punto più alto
Q_B	5.11	m s.l.m.	Quota punto più basso
H_m	62.85	m	Altezza media sulla sezione di chiusura
i	8.15%		Pendenza media dell'asta principale
i_v	25.90%		Pendenza media dei versanti
CN_{II}	80.4		Curve number (AMC II)
CN_{III}	90.4		Curve number (AMC III)
AMC	III		AMC

Tempi di concentrazione, corrivazione e ritardo

SCS

T_{con} (SCS)	27.6	min	Tempo di concentrazione (SCS)
T_{lag} (SCS)	16.6	min	Tempo di ritardo (SCS)

FAA

C	0.31		Coefficiente di deflusso
T_{con} (FAA)	25.7	min	Tempo di concentrazione (FAA)
T_{lag} (FAA)	15.4	min	Tempo di ritardo (FAA)

Giandotti

T_{corr}	50.9	min	Tempo di corrivazione secondo Giandotti

Tournon

T_{corr}	32.0	min	Tempo di corrivazione secondo Tournon

Kirpich

T_{corr}	12.2	min	Tempo di corrivazione secondo Kirpich

Pasini

T_{corr}	22.0	min	Tempo di corrivazione secondo Pasini

Media Tournon - SCS

T_{con}	29.8	min	Tempo di concentrazione medio (SCS e Tournon)
T_{lag}	17.9	min	Tempo di ritardo medio (SCS e Tournon)

Calcolo delle perdite iniziali con il metodo dell'SCS

I_L(%)	20.0%		Perdite iniziali in percentuale
I_L	5.4	mm	Perdite iniziali

Valutazione del coefficiente CN medio

Area	607700	m^2		
CN medio	80.36			
C defl medio	0.31			

Codice CLC	Descrizione	Classe permeabilità	CN	Area
323	Territori boscati e ambienti semi naturali - Zone caratterizzate da vegetazione arbus	C	70	113365
242	Territori agricoli - Zone agricole eterogenee - Sistemi colturali e particellari permane	B	73	74065
112	Territori modellati artificialmente - Zone urbanizzate - Tessuto urbano discontinuo	C	90	12716
242	Territori agricoli - Zone agricole eterogenee - Sistemi colturali e particellari permane	C	81	85574
242	Territori agricoli - Zone agricole eterogenee - Sistemi colturali e particellari permane	D	84	84170
311	Territori boscati e ambienti semi naturali - Zone boscate - Boschi di latifoglie	C	73	0
112	Territori modellati artificialmente - Zone urbanizzate - Tessuto urbano discontinuo	D	92	97021
112	Territori modellati artificialmente - Zone urbanizzate - Tessuto urbano discontinuo	B	85	8695
323	Territori boscati e ambienti semi naturali - Zone caratterizzate da vegetazione arbus	C	70	1614
242	Territori agricoli - Zone agricole eterogenee - Sistemi colturali e particellari permane	C	81	130479

RISULTATI SIMULAZIONI

Project: hms_concia Simulation Run: TR030_C_TP0015

Start of Run: 30lug2013, 00:00 Basin Model: Bacino
End of Run: 30lug2013, 05:00 Meteorologic Model: TR030_C_TP0015
Compute Time: 05feb2021, 20:21:48 Control Specifications: TC5h_Step1min

Hydrologic Element	Drainage Area (KM2)	Peak Discharge (M3/S)	Time of Peak	Volume (1000 M3)
Concia sx	0.646	5.502	30lug2013, 00:34	11.64
Concia monte	0.536	5.035	30lug2013, 00:26	6.95
Concia dx	0.107	1.805	30lug2013, 00:18	1.43
Junction-1	0.643	5.870	30lug2013, 00:23	8.38
Concia valle	0.161	3.015	30lug2013, 00:20	3.12
Junction-2	1.450	12.079	30lug2013, 00:25	23.14
Val di denari	0.608	5.550	30lug2013, 00:28	8.52
Junction-3	2.058	17.497	30lug2013, 00:26	31.66
Botro della Vecchia	0.197	2.044	30lug2013, 00:20	1.72
Concia monte dx	0.103	1.525	30lug2013, 00:17	1.00

Project: hms_concia Simulation Run: TR030_C_TP0030

Start of Run: 30lug2013, 00:00 Basin Model: Bacino
End of Run: 30lug2013, 05:00 Meteorologic Model: TR030_C_TP0030
Compute Time: 05feb2021, 16:20:28 Control Specifications: TC5h_Step1min

Hydrologic Element	Drainage Area (KM2)	Peak Discharge (M3/S)	Time of Peak	Volume (1000 M3)
Concia sx	0.646	7.416	30lug2013, 00:45	17.26
Concia monte	0.536	6.616	30lug2013, 00:37	11.03
Concia dx	0.107	1.810	30lug2013, 00:31	2.26
Junction-1	0.643	7.930	30lug2013, 00:35	13.30
Concia valle	0.161	3.034	30lug2013, 00:33	4.56
Junction-2	1.450	16.624	30lug2013, 00:37	35.11
Val di denari	0.608	7.391	30lug2013, 00:39	13.32
Junction-3	2.058	23.898	30lug2013, 00:37	48.43
Botro della Vecchia	0.197	2.481	30lug2013, 00:32	2.97
Concia monte dx	0.103	1.543	30lug2013, 00:30	1.68

Project: hms_concia Simulation Run: TR030_C_TP0045

Start of Run: 30lug2013, 00:00 Basin Model: Bacino
End of Run: 30lug2013, 05:00 Meteorologic Model: TR030_C_TP0045
Compute Time: 05feb2021, 16:20:29 Control Specifications: TC5h_Step1min

Hydrologic Element	Drainage Area (KM2)	Peak Discharge (M3/S)	Time of Peak	Volume (1000 M3)
Concia sx	0.646	7.789	30lug2013, 00:56	21.19
Concia monte	0.536	6.611	30lug2013, 00:50	13.97
Concia dx	0.107	1.572	30lug2013, 00:45	2.86
Junction-1	0.643	8.009	30lug2013, 00:48	16.83
Concia valle	0.161	2.629	30lug2013, 00:46	5.55
Junction-2	1.450	17.626	30lug2013, 00:49	43.57
Val di denari	0.608	7.480	30lug2013, 00:51	16.75
Junction-3	2.058	25.041	30lug2013, 00:50	60.32
Botro della Vecchia	0.197	2.340	30lug2013, 00:46	3.91
Concia monte dx	0.103	1.357	30lug2013, 00:45	2.19

Project: hms_concia Simulation Run: TR030_C_TP0100

Start of Run: 30lug2013, 00:00 Basin Model: Bacino
End of Run: 30lug2013, 05:00 Meteorologic Model: TR030_C_TP0100
Compute Time: 05feb2021, 16:20:29 Control Specifications: TC5h_Step1min

Hydrologic Element	Drainage Area (KM2)	Peak Discharge (M3/S)	Time of Peak	Volume (1000 M3)
Concia sx	0.646	7.542	30lug2013, 01:09	24.31
Concia monte	0.536	6.180	30lug2013, 01:03	16.35
Concia dx	0.107	1.370	30lug2013, 01:00	3.34
Junction-1	0.643	7.490	30lug2013, 01:02	19.69
Concia valle	0.161	2.270	30lug2013, 01:00	6.34
Junction-2	1.450	16.974	30lug2013, 01:03	50.34
Val di denari	0.608	7.056	30lug2013, 01:04	19.50
Junction-3	2.058	24.010	30lug2013, 01:03	69.85
Botro della Vecchia	0.197	2.126	30lug2013, 01:00	4.68
Concia monte dx	0.103	1.195	30lug2013, 00:59	2.61

Project: hms_concia Simulation Run: TR030_C_TP0115

Start of Run: 30lug2013, 00:00 Basin Model: Bacino
End of Run: 30lug2013, 05:00 Meteorologic Model: TR030_C_TP0115
Compute Time: 05feb2021, 16:20:30 Control Specifications: TC5h_Step1min

Hydrologic Element	Drainage Area (KM2)	Peak Discharge (M3/S)	Time of Peak	Volume (1000 M3)
Concia sx	0.646	7.096	30lug2013, 01:21	26.95
Concia monte	0.536	5.693	30lug2013, 01:17	18.38
Concia dx	0.107	1.216	30lug2013, 01:14	3.74
Junction-1	0.643	6.885	30lug2013, 01:16	22.13
Concia valle	0.161	1.995	30lug2013, 01:15	7.01
Junction-2	1.450	15.842	30lug2013, 01:17	56.09
Val di denari	0.608	6.530	30lug2013, 01:18	21.85
Junction-3	2.058	22.365	30lug2013, 01:17	77.94
Botro della Vecchia	0.197	1.937	30lug2013, 01:15	5.35
Concia monte dx	0.103	1.072	30lug2013, 01:14	2.97

Project: hms_concia Simulation Run: TR030_C_TP0130

Start of Run: 30lug2013, 00:00 Basin Model: Bacino
End of Run: 30lug2013, 05:00 Meteorologic Model: TR030_C_TP0130
Compute Time: 05feb2021, 16:20:31 Control Specifications: TC5h_Step1min

Hydrologic Element	Drainage Area (KM2)	Peak Discharge (M3/S)	Time of Peak	Volume (1000 M3)
Concia sx	0.646	6.613	30lug2013, 01:34	29.26
Concia monte	0.536	5.242	30lug2013, 01:31	20.17
Concia dx	0.107	1.098	30lug2013, 01:29	4.10
Junction-1	0.643	6.327	30lug2013, 01:30	24.27
Concia valle	0.161	1.786	30lug2013, 01:29	7.59
Junction-2	1.450	14.673	30lug2013, 01:31	61.13
Val di denari	0.608	6.027	30lug2013, 01:32	23.92
Junction-3	2.058	20.694	30lug2013, 01:31	85.05
Botro della Vecchia	0.197	1.778	30lug2013, 01:30	5.94
Concia monte dx	0.103	0.975	30lug2013, 01:29	3.29

Project: hms_concia Simulation Run: TR030_C_TP0145

Start of Run: 30lug2013, 00:00 Basin Model: Bacino
End of Run: 30lug2013, 05:00 Meteorologic Model: TR030_C_TP0145
Compute Time: 05feb2021, 16:20:32 Control Specifications: TC5h_Step1min

Hydrologic Element	Drainage Area (KM2)	Peak Discharge (M3/S)	Time of Peak	Volume (1000 M3)
Concia sx	0.646	6.155	30lug2013, 01:48	31.33
Concia monte	0.536	4.851	30lug2013, 01:46	21.78
Concia dx	0.107	1.005	30lug2013, 01:44	4.43
Junction-1	0.643	5.849	30lug2013, 01:45	26.21
Concia valle	0.161	1.624	30lug2013, 01:44	8.11
Junction-2	1.450	13.599	30lug2013, 01:45	65.65
Val di denari	0.608	5.581	30lug2013, 01:46	25.78
Junction-3	2.058	19.180	30lug2013, 01:46	91.43
Botro della Vecchia	0.197	1.646	30lug2013, 01:45	6.48
Concia monte dx	0.103	0.897	30lug2013, 01:44	3.58

Project: hms_concia Simulation Run: TR030_C_TP0200

Start of Run: 30lug2013, 00:00 Basin Model: Bacino
End of Run: 30lug2013, 05:00 Meteorologic Model: TR030_C_TP0200
Compute Time: 05feb2021, 16:20:33 Control Specifications: TC5h_Step1min

Hydrologic Element	Drainage Area (KM2)	Peak Discharge (M3/S)	Time of Peak	Volume (1000 M3)
Concia sx	0.646	5.743	30lug2013, 02:02	33.21
Concia monte	0.536	4.516	30lug2013, 02:01	23.25
Concia dx	0.107	0.929	30lug2013, 01:59	4.72
Junction-1	0.643	5.441	30lug2013, 02:00	27.97
Concia valle	0.161	1.493	30lug2013, 01:59	8.59
Junction-2	1.450	12.664	30lug2013, 02:00	69.77
Val di denari	0.608	5.197	30lug2013, 02:01	27.47
Junction-3	2.058	17.857	30lug2013, 02:00	97.24
Botro della Vecchia	0.197	1.535	30lug2013, 02:00	6.98
Concia monte dx	0.103	0.833	30lug2013, 01:59	3.85

Project: hms_concia Simulation Run: TR030_C_TP0215

Start of Run: 30lug2013, 00:00 Basin Model: Bacino
End of Run: 30lug2013, 05:00 Meteorologic Model: TR030_C_TP0215
Compute Time: 05feb2021, 16:20:34 Control Specifications: TC5h_Step1min

Hydrologic Element	Drainage Area (KM2)	Peak Discharge (M3/S)	Time of Peak	Volume (1000 M3)
Concia sx	0.646	5.378	30lug2013, 02:17	34.94
Concia monte	0.536	4.229	30lug2013, 02:15	24.61
Concia dx	0.107	0.866	30lug2013, 02:14	5.00
Junction-1	0.643	5.092	30lug2013, 02:15	29.60
Concia valle	0.161	1.386	30lug2013, 02:14	9.02
Junction-2	1.450	11.850	30lug2013, 02:15	73.57
Val di denari	0.608	4.865	30lug2013, 02:16	29.03
Junction-3	2.058	16.714	30lug2013, 02:15	102.60
Botro della Vecchia	0.197	1.441	30lug2013, 02:14	7.44
Concia monte dx	0.103	0.780	30lug2013, 02:14	4.09

Project: hms_concia Simulation Run: TR030_C_TP0230

Start of Run: 30lug2013, 00:00 Basin Model: Bacino
End of Run: 30lug2013, 05:00 Meteorologic Model: TR030_C_TP0230
Compute Time: 05feb2021, 16:20:35 Control Specifications: TC5h_Step1min

Hydrologic Element	Drainage Area (KM2)	Peak Discharge (M3/S)	Time of Peak	Volume (1000 M3)
Concia sx	0.646	5.058	30lug2013, 02:31	36.55
Concia monte	0.536	3.982	30lug2013, 02:30	25.87
Concia dx	0.107	0.812	30lug2013, 02:29	5.25
Junction-1	0.643	4.793	30lug2013, 02:30	31.12
Concia valle	0.161	1.296	30lug2013, 02:29	9.43
Junction-2	1.450	11.142	30lug2013, 02:30	77.10
Val di denari	0.608	4.579	30lug2013, 02:30	30.49
Junction-3	2.058	15.721	30lug2013, 02:30	107.59
Botro della Vecchia	0.197	1.361	30lug2013, 02:29	7.87
Concia monte dx	0.103	0.734	30lug2013, 02:29	4.32

Project: hms_concia Simulation Run: TR030_C_TP0245

Start of Run: 30lug2013, 00:00 Basin Model: Bacino
End of Run: 30lug2013, 05:00 Meteorologic Model: TR030_C_TP0245
Compute Time: 05feb2021, 16:20:36 Control Specifications: TC5h_Step1min

Hydrologic Element	Drainage Area (KM2)	Peak Discharge (M3/S)	Time of Peak	Volume (1000 M3)
Concia sx	0.646	4.777	30lug2013, 02:46	38.06
Concia monte	0.536	3.768	30lug2013, 02:45	27.06
Concia dx	0.107	0.767	30lug2013, 02:44	5.49
Junction-1	0.643	4.532	30lug2013, 02:44	32.55
Concia valle	0.161	1.219	30lug2013, 02:44	9.81
Junction-2	1.450	10.525	30lug2013, 02:45	80.41
Val di denari	0.608	4.330	30lug2013, 02:45	31.86
Junction-3	2.058	14.856	30lug2013, 02:45	112.27
Botro della Vecchia	0.197	1.290	30lug2013, 02:44	8.27
Concia monte dx	0.103	0.695	30lug2013, 02:44	4.54

Project: hms_concia Simulation Run: TR030_C_TP0300

Start of Run: 30lug2013, 00:00 Basin Model: Bacino
End of Run: 30lug2013, 05:00 Meteorologic Model: TR030_C_TP0300
Compute Time: 05feb2021, 16:20:37 Control Specifications: TC5h_Step1min

Hydrologic Element	Drainage Area (KM2)	Peak Discharge (M3/S)	Time of Peak	Volume (1000 M3)
Concia sx	0.646	4.529	30lug2013, 03:01	39.47
Concia monte	0.536	3.579	30lug2013, 03:00	28.18
Concia dx	0.107	0.727	30lug2013, 02:59	5.71
Junction-1	0.643	4.305	30lug2013, 02:59	33.90
Concia valle	0.161	1.153	30lug2013, 02:59	10.16
Junction-2	1.450	9.985	30lug2013, 02:59	83.53
Val di denari	0.608	4.112	30lug2013, 03:00	33.14
Junction-3	2.058	14.096	30lug2013, 03:00	116.68
Botro della Vecchia	0.197	1.229	30lug2013, 02:59	8.65
Concia monte dx	0.103	0.660	30lug2013, 02:59	4.74

Project: hms_concia Simulation Run: TR200_C_TP0015

Start of Run: 30lug2013, 00:00 Basin Model: Bacino
End of Run: 30lug2013, 05:00 Meteorologic Model: TR200_C_TP0015
Compute Time: 05feb2021, 16:20:49 Control Specifications: TC5h_Step1min

Hydrologic Element	Drainage Area (KM2)	Peak Discharge (M3/S)	Time of Peak	Volume (1000 M3)
Concia sx	0.646	7.905	30lug2013, 00:34	16.75
Concia monte	0.536	7.664	30lug2013, 00:26	10.66
Concia dx	0.107	2.684	30lug2013, 00:18	2.19
Junction-1	0.643	8.952	30lug2013, 00:23	12.84
Concia valle	0.161	4.236	30lug2013, 00:20	4.43
Junction-2	1.450	17.814	30lug2013, 00:25	34.02
Val di denari	0.608	8.343	30lug2013, 00:27	12.88
Junction-3	2.058	25.969	30lug2013, 00:26	46.90
Botro della Vecchia	0.197	3.327	30lug2013, 00:19	2.85
Concia monte dx	0.103	2.380	30lug2013, 00:17	1.62

Project: hms_concia Simulation Run: TR200_C_TP0030

Start of Run: 30lug2013, 00:00 Basin Model: Bacino
End of Run: 30lug2013, 05:00 Meteorologic Model: TR200_C_TP0030
Compute Time: 05feb2021, 16:20:50 Control Specifications: TC5h_Step1min

Hydrologic Element	Drainage Area (KM2)	Peak Discharge (M3/S)	Time of Peak	Volume (1000 M3)
Concia sx	0.646	10.930	30lug2013, 00:44	25.70
Concia monte	0.536	10.178	30lug2013, 00:37	17.42
Concia dx	0.107	2.694	30lug2013, 00:31	3.55
Junction-1	0.643	12.203	30lug2013, 00:34	20.97
Concia valle	0.161	4.325	30lug2013, 00:32	6.70
Junction-2	1.450	25.039	30lug2013, 00:36	53.37
Val di denari	0.608	11.255	30lug2013, 00:38	20.74
Junction-3	2.058	36.146	30lug2013, 00:37	74.11
Botro della Vecchia	0.197	3.973	30lug2013, 00:32	5.03
Concia monte dx	0.103	2.391	30lug2013, 00:30	2.80

Project: hms_concia Simulation Run: TR200_C_TP0045

Start of Run: 30lug2013, 00:00 Basin Model: Bacino
End of Run: 30lug2013, 05:00 Meteorologic Model: TR200_C_TP0045
Compute Time: 05feb2021, 20:21:33 Control Specifications: TC5h_Step1min

Hydrologic Element	Drainage Area (KM2)	Peak Discharge (M3/S)	Time of Peak	Volume (1000 M3)
Concia sx	0.646	11.579	30lug2013, 00:56	32.18
Concia monte	0.536	10.160	30lug2013, 00:49	22.44
Concia dx	0.107	2.345	30lug2013, 00:45	4.56
Junction-1	0.643	12.304	30lug2013, 00:47	27.00
Concia valle	0.161	3.772	30lug2013, 00:45	8.33
Junction-2	1.450	26.635	30lug2013, 00:49	67.51
Val di denari	0.608	11.423	30lug2013, 00:51	26.54
Junction-3	2.058	37.986	30lug2013, 00:49	94.04
Botro della Vecchia	0.197	3.716	30lug2013, 00:46	6.70
Concia monte dx	0.103	2.095	30lug2013, 00:45	3.70

Project: hms_concia Simulation Run: TR200_C_TP0100

Start of Run: 30lug2013, 00:00 Basin Model: Bacino
End of Run: 30lug2013, 05:00 Meteorologic Model: TR200_C_TP0100
Compute Time: 05feb2021, 16:20:51 Control Specifications: TC5h_Step1min

Hydrologic Element	Drainage Area (KM2)	Peak Discharge (M3/S)	Time of Peak	Volume (1000 M3)
Concia sx	0.646	11.266	30lug2013, 01:08	37.44
Concia monte	0.536	9.505	30lug2013, 01:03	26.57
Concia dx	0.107	2.052	30lug2013, 00:59	5.39
Junction-1	0.643	11.497	30lug2013, 01:01	31.96
Concia valle	0.161	3.282	30lug2013, 01:00	9.65
Junction-2	1.450	25.660	30lug2013, 01:02	79.05
Val di denari	0.608	10.783	30lug2013, 01:04	31.30
Junction-3	2.058	36.412	30lug2013, 01:03	110.35
Botro della Vecchia	0.197	3.373	30lug2013, 01:00	8.10
Concia monte dx	0.103	1.854	30lug2013, 00:59	4.45

Project: hms_concia Simulation Run: TR200_C_TP0115

Start of Run: 30lug2013, 00:00 Basin Model: Bacino
End of Run: 30lug2013, 05:00 Meteorologic Model: TR200_C_TP0115
Compute Time: 05feb2021, 16:20:52 Control Specifications: TC5h_Step1min

Hydrologic Element	Drainage Area (KM2)	Peak Discharge (M3/S)	Time of Peak	Volume (1000 M3)
Concia sx	0.646	10.637	30lug2013, 01:20	41.95
Concia monte	0.536	8.759	30lug2013, 01:17	30.15
Concia dx	0.107	1.834	30lug2013, 01:14	6.11
Junction-1	0.643	10.569	30lug2013, 01:16	36.26
Concia valle	0.161	2.908	30lug2013, 01:14	10.79
Junction-2	1.450	23.975	30lug2013, 01:16	89.00
Val di denari	0.608	9.989	30lug2013, 01:17	35.40
Junction-3	2.058	33.950	30lug2013, 01:16	124.40
Botro della Vecchia	0.197	3.073	30lug2013, 01:15	9.33
Concia monte dx	0.103	1.669	30lug2013, 01:14	5.10

Project: hms_concia Simulation Run: TR200_C_TP0130

Start of Run: 30lug2013, 00:00 Basin Model: Bacino
End of Run: 30lug2013, 05:00 Meteorologic Model: TR200_C_TP0130
Compute Time: 05feb2021, 16:20:53 Control Specifications: TC5h_Step1min

Hydrologic Element	Drainage Area (KM2)	Peak Discharge (M3/S)	Time of Peak	Volume (1000 M3)
Concia sx	0.646	9.943	30lug2013, 01:34	45.95
Concia monte	0.536	8.082	30lug2013, 01:31	33.33
Concia dx	0.107	1.665	30lug2013, 01:29	6.75
Junction-1	0.643	9.737	30lug2013, 01:30	40.08
Concia valle	0.161	2.624	30lug2013, 01:29	11.79
Junction-2	1.450	22.244	30lug2013, 01:31	97.82
Val di denari	0.608	9.235	30lug2013, 01:31	39.05
Junction-3	2.058	31.479	30lug2013, 01:31	136.87
Botro della Vecchia	0.197	2.826	30lug2013, 01:30	10.43
Concia monte dx	0.103	1.524	30lug2013, 01:29	5.69

Project: hms_concia Simulation Run: TR200_C_TP0145

Start of Run: 30lug2013, 00:00 Basin Model: Bacino
End of Run: 30lug2013, 05:00 Meteorologic Model: TR200_C_TP0145
Compute Time: 05feb2021, 16:20:54 Control Specifications: TC5h_Step1min

Hydrologic Element	Drainage Area (KM2)	Peak Discharge (M3/S)	Time of Peak	Volume (1000 M3)
Concia sx	0.646	9.282	30lug2013, 01:47	49.56
Concia monte	0.536	7.493	30lug2013, 01:45	36.22
Concia dx	0.107	1.531	30lug2013, 01:44	7.33
Junction-1	0.643	9.020	30lug2013, 01:45	43.54
Concia valle	0.161	2.401	30lug2013, 01:44	12.70
Junction-2	1.450	20.682	30lug2013, 01:45	105.80
Val di denari	0.608	8.572	30lug2013, 01:46	42.36
Junction-3	2.058	29.252	30lug2013, 01:45	148.17
Botro della Vecchia	0.197	2.623	30lug2013, 01:44	11.43
Concia monte dx	0.103	1.408	30lug2013, 01:44	6.22

Project: hms_concia Simulation Run: TR200_C_TP0200

Start of Run: 30lug2013, 00:00 Basin Model: Bacino
End of Run: 30lug2013, 05:00 Meteorologic Model: TR200_C_TP0200
Compute Time: 05feb2021, 16:20:55 Control Specifications: TC5h_Step1min

Hydrologic Element	Drainage Area (KM2)	Peak Discharge (M3/S)	Time of Peak	Volume (1000 M3)
Concia sx	0.646	8.688	30lug2013, 02:02	52.88
Concia monte	0.536	6.996	30lug2013, 02:00	38.87
Concia dx	0.107	1.423	30lug2013, 01:59	7.86
Junction-1	0.643	8.414	30lug2013, 02:00	46.73
Concia valle	0.161	2.222	30lug2013, 01:59	13.53
Junction-2	1.450	19.316	30lug2013, 02:00	113.14
Val di denari	0.608	8.002	30lug2013, 02:00	45.41
Junction-3	2.058	27.318	30lug2013, 02:00	158.54
Botro della Vecchia	0.197	2.454	30lug2013, 01:59	12.36
Concia monte dx	0.103	1.313	30lug2013, 01:59	6.71

Project: hms_concia Simulation Run: TR200_C_TP0215

Start of Run: 30lug2013, 00:00 Basin Model: Bacino
End of Run: 30lug2013, 05:00 Meteorologic Model: TR200_C_TP0215
Compute Time: 05feb2021, 16:20:56 Control Specifications: TC5h_Step1min

Hydrologic Element	Drainage Area (KM2)	Peak Discharge (M3/S)	Time of Peak	Volume (1000 M3)
Concia sx	0.646	8.164	30lug2013, 02:16	55.95
Concia monte	0.536	6.572	30lug2013, 02:15	41.35
Concia dx	0.107	1.332	30lug2013, 02:14	8.36
Junction-1	0.643	7.902	30lug2013, 02:14	49.70
Concia valle	0.161	2.074	30lug2013, 02:14	14.30
Junction-2	1.450	18.133	30lug2013, 02:15	119.95
Val di denari	0.608	7.516	30lug2013, 02:15	48.23
Junction-3	2.058	25.649	30lug2013, 02:15	168.18
Botro della Vecchia	0.197	2.311	30lug2013, 02:14	13.22
Concia monte dx	0.103	1.233	30lug2013, 02:14	7.17

Project: hms_concia Simulation Run: TR200_C_TP0230

Start of Run: 30lug2013, 00:00 Basin Model: Bacino
End of Run: 30lug2013, 05:00 Meteorologic Model: TR200_C_TP0230
Compute Time: 05feb2021, 16:20:57 Control Specifications: TC5h_Step1min

Hydrologic Element	Drainage Area (KM2)	Peak Discharge (M3/S)	Time of Peak	Volume (1000 M3)
Concia sx	0.646	7.703	30lug2013, 02:30	58.82
Concia monte	0.536	6.208	30lug2013, 02:30	43.66
Concia dx	0.107	1.255	30lug2013, 02:29	8.82
Junction-1	0.643	7.462	30lug2013, 02:29	52.48
Concia valle	0.161	1.950	30lug2013, 02:29	15.02
Junction-2	1.450	17.112	30lug2013, 02:29	126.32
Val di denari	0.608	7.096	30lug2013, 02:30	50.88
Junction-3	2.058	24.206	30lug2013, 02:29	177.20
Botro della Vecchia	0.197	2.187	30lug2013, 02:29	14.03
Concia monte dx	0.103	1.165	30lug2013, 02:29	7.60

Project: hms_concia Simulation Run: TR200_C_TP0245

Start of Run: 30lug2013, 00:00 Basin Model: Bacino
End of Run: 30lug2013, 05:00 Meteorologic Model: TR200_C_TP0245
Compute Time: 05feb2021, 16:20:57 Control Specifications: TC5h_Step1min

Hydrologic Element	Drainage Area (KM2)	Peak Discharge (M3/S)	Time of Peak	Volume (1000 M3)
Concia sx	0.646	7.300	30lug2013, 02:45	61.53
Concia monte	0.536	5.891	30lug2013, 02:45	45.84
Concia dx	0.107	1.189	30lug2013, 02:44	9.26
Junction-1	0.643	7.079	30lug2013, 02:44	55.10
Concia valle	0.161	1.843	30lug2013, 02:44	15.69
Junction-2	1.450	16.221	30lug2013, 02:44	132.32
Val di denari	0.608	6.732	30lug2013, 02:45	53.38
Junction-3	2.058	22.952	30lug2013, 02:44	185.70
Botro della Vecchia	0.197	2.079	30lug2013, 02:44	14.80
Concia monte dx	0.103	1.106	30lug2013, 02:44	8.01

Project: hms_concia Simulation Run: TR200_C_TP0300

Start of Run: 30lug2013, 00:00 Basin Model: Bacino
End of Run: 30lug2013, 05:00 Meteorologic Model: TR200_C_TP0300
Compute Time: 05feb2021, 16:20:58 Control Specifications: TC5h_Step1min

Hydrologic Element	Drainage Area (KM2)	Peak Discharge (M3/S)	Time of Peak	Volume (1000 M3)
Concia sx	0.646	6.947	30lug2013, 03:00	64.09
Concia monte	0.536	5.613	30lug2013, 02:59	47.91
Concia dx	0.107	1.131	30lug2013, 02:59	9.67
Junction-1	0.643	6.744	30lug2013, 02:59	57.58
Concia valle	0.161	1.751	30lug2013, 02:59	16.33
Junction-2	1.450	15.441	30lug2013, 02:59	138.01
Val di denari	0.608	6.412	30lug2013, 03:00	55.74
Junction-3	2.058	21.852	30lug2013, 02:59	193.75
Botro della Vecchia	0.197	1.985	30lug2013, 02:59	15.53
Concia monte dx	0.103	1.054	30lug2013, 02:59	8.39